

Vysoká škola strojní a textilní v Liberci

nositelka Řádu práce

Fakulta strojní

Obr 23 - 34 - 8

Výrobní stroje a zařízení

Zařízení

Skříňové a keramické stroje

ODPĚDOVÁNÍ SKLENĚNÝCH HLAVIC

Reditel: František S L A V Ě K

Vedoucí práce: ing. J. Hošek, CSc

Konzultant: ing. P. Pajar /K. p. Lustry Kamenický Šenov/

Seznam stránek a příloh

Počet stránek..... 30  
Počet příloh a tabulek.... 0  
Počet obrázků..... 10  
Počet výkresů..... 4  
Počet modelů  
nebo jiných příloh..... 1

MDT 666.1.039

Datum: 24. 4. 1980

KJK JK

Vysoká škola: strojní a textilní

Katedra: sklář. a keram. strojů

Fakulta: strojní

Školní rok: 1979/80

## DIPLOMOVÝ ÚKOL

pro Františka S l a v í k a

obor 23-34-8 Výrobní stroje a zařízení

Zaměření sklářské a keramické stroje

Protože jste splnil... požadavky učebního plánu, zadává Vám vedoucí katedry ve smyslu směrnic ministerstva školství a kultury o státních závěrečných zkouškách tento diplomový úkol:

Název tématu: Oddělování skleněných dílů

Pokyny pro vypracování:

V současné době se oddělování kopen od skleněných dílů pro výrobu lustrů provádí na horizontálních pukacích strojích P 4, pomocí hořáků na směs dálkový plyn + vzduch.

U skleněných dílů tvaru misky (s kulovým povrchem dna) není zaručeno vystředění dílů, což má za následek křivou rovinu opuknutí. Toto způsobuje značné potíže při dalším zpracování broušením.

Úkolem Vaší diplomové práce bude:

1. Analyzovat současný stav.
2. Na základě rozboru podkladů principiálně navrhnout některé způsoby oddělování skleněných dílů.
3. Konstrukčně zpracovat formou sestavného výkresu a výkresů nejdůležitějších detailů jednoúčelový stroj s možností oddělování skleněných dílů  $\varnothing$  80 - 400 mm, s nastavitelnou výškou 0 - 300 mm.
4. Provést technickoekonomické zhodnocení navrhovaného řešení.

Autorské právo se řídí směrnicí  
MŠK pro státní záv. zkoušky  
727/62-11/2 ze dne 13. července  
1962-Věstník MŠK XVIII, část 24 ze  
dne 31.8.1962 § 19 out. z. č. 115/53 Sb.

VYSOKÁ ŠKOLA STROJNÍ A TEXTILNÍ  
Ústřední knihovna  
PŘED 1, STUDENTSKÁ 8  
400 461 17

Rozsah grafických laboratorních prací: cca 40 stran textu doložených příslušnými výpočty a výkresovou dokumentací

Rozsah průvodní zprávy:

Seznam odborné literatury: Bachtík, S. - Pospíchal, V.: Zušlechťování skla, SNTL Praha 1964  
Tvary skleněných dílů horizontálně pukaných

Vedoucí diplomové práce: Ing. Jaroslav N o s e k

Konsultanti: Ing. Zita, Lustry Kamenický Šenov

Datum zahájení diplomové práce: 8. 10. 1979

Datum odevzdání diplomové práce: 23. 5. 1980



Ing. Jaroslav Belda, CSc  
Vedoucí katedry

  
Doc. RNDr. B. Stríž, CSc  
Děkan

Nístopříjemně prohlašuji, že jsem diplomovou práci  
vypracoval samostatně s použitím uvedené literatury.

V Liberci, dne 24. 4. 1980

Lam'k

# OBSAH

Strana

Titulní list .....	1
Obsah .....	3
Seznam důležitých označení .....	4
Úvod .....	6
1. Současný stav oddělování hlavic .....	7
1.1. Oddělování hlavic u misek .....	7
1.2. Oddělování hlavic u středních dílů .....	8
2. Alternativní řešení .....	9
2.1. Vakuové upínání a středění na matnici ....	9
2.2. Vakuové upínání a středění do čelistí ....	10
2.3. Vakuové upínání na technologický výstupok.	10
2.4. Mechanické upínání středních dílů .....	11
2.5. Zhodnocení .....	12
2.5.1. Upínání misek .....	12
2.5.2. Upínání středních dílů .....	13
2.5.3. Obvod pro vakuové upínání.....	13
3. Způsoby oddělování .....	14
3.1. Pukání .....	14
3.2. Řezání diamantovou pilou .....	14
3.2.1. Teorie řezání diamantovou pilou .....	15
4. Navrhování řešení .....	16
4.1. Oddělovací zařízení .....	16
4.2. Nastavení výšky diapil .....	16
4.3. Pohyb vozík .....	16
4.4. Pohyb navrhovaného zařízení .....	17
5. Výpočtová část .....	20
6. Technickoekonomické zhodnocení .....	27
Závěr .....	29
Seznam použité literatury .....	30

## SEZNAM DÍLEŽITÝCH OZNAČENÍ

- $t_1$  - pracovní čas pily
- $t_2$  - čas chlazení pily
- $F_R$  - radiační řezná síla
- $F_T$  - tečná řezná síla
- $v_p$  - rychlost posuvu do řezu
- $v_r$  - řezná rychlost
- $s_n$  - zrnitost
- $K$  - koncentrace
- $n$  - otáčky diamantové pily
- $D$  - průměr diamantové pily
- $d_1$  - vzdálenost působení radiačních řezných sil
- $d_2$  - vzdálenost působení tečných řezných sil
- $M_{K1}$  - krouticí moment vyvolaný řeznými silami
- $p_0$  - tlak vzduch
- $F_{N1}$  - normálová síla přívavky
- $F_{T1}$  - třecí síla přívavky
- $M_{K2}$  - krouticí moment přenášený přívavkou
- $F_{N2}$  - upínací síla pro střední díly
- $d_3$  - střední průměr výrobků
- $f_0$  - koeficient tření
- $D_1$  - průměr pneumatického válce VU
- $p$  - tlak vzduch
- $S_1$  - plocha pístu VU
- $d_4$  - průměr pístnice VU
- $D_2$  - průměr pístu VO
- $d_5$  - průměr ozubené pístnice
- $D_0$  - průměr rostoucí kružnice ozubeného kola
- délka natožení upínacích hlav
- $m$  - modul ozubení

- $n$  - počet zubů
- $h$  - sdvih přetvárnice VO
- $M_{K3}$  - krouticí moment oděšení upínacích hlav
- $F_{N3}$  - normálová síla VO
- $D_3$  - průměr pístu VO

## ÚVOD

Československé sklářské výrobky jsou svoji kvalitou známé po celém světě. Obchod se zahraničními partnery přináší naší ekonomice devizové prostředky, se kterými je možno nakupovat zařízení a stroje pro náš průmysl.

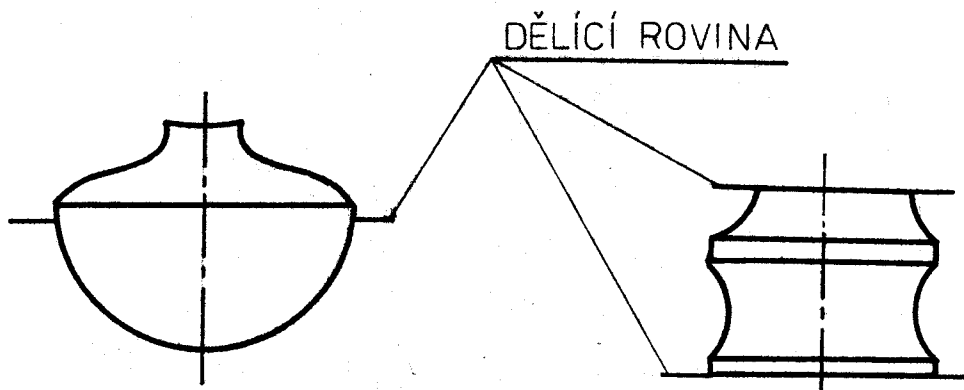
V současné době jsou stále větší nároky na kvalitu i kvantitu sklářských výrobků. Dosažení vyšších výkonů není možné na stávajících zařízeních a se stávajícími technologiemi. Jednou z cest dosažení vyšších parametrů je použití automatizačních prvků na strojních zařízeních. Pomocí automatizačních prvků se nejen zvýší výrobnost, ale často nahradíme i lidskou manuální práci, která je ve většině případů stereotypní. Dalším přínosem automatizace je vysoká produktivita práce výrobního procesu a udržení výrobních zařízení na světové úrovni.

Jedou z důležitých operací při výrobě dílů svítilen je oddělování klavic. V K. p. Lustry Kamenický Šenov se tato operace provádí na pukacích strojích, které však nezajistí kvalitní pukací rovinu, což způsobuje problémy v následných operacích broušení.

V této diplomové práci je řešena problematika oddělování skleněných klavic od polotovaru a upínání výrobků, které mají kulové dno nebo rotační součásti nepravidelného tvaru tzv. střední díly.

## 1. SOUČASNÝ STAV ODDĚLOVÁNÍ HLAVIC

Sortiment výrobků K. p. Lustry Kamenický Šenov lze rozdělit do dvou skupin. První skupinu tvoří výrobky, které mají dno ve tvaru koule tzv. misky viz. obr.1. Druhou skupinu tvoří výrobky jejíž tvar je členitý tzv. střední díly viz. obr.2.



Obr. 1.

Obr. 2.

### 1.1. Oddělování hlavic u misek.

Oddělování hlavic u misek se provádí na třítalířovém horizontálním pukačím stroji P4. Na skládacím rámu jsou tři talíře uspořádané v řadě. Na prostředním talíři se provádí nasazení pukačí roviny pomocí vidlicového hrotu. Po této operaci přenesou obsluha výrobek na pravý nebo levý talíř. Tyto talíře jsou poháněny elektromotorem přes variátor, kterým lze nastavit otáčky tak, aby obvodová rychlost dovolila správné nahřetí výrobku. Na těchto talířích se provádí prudký ohřev v místě pukačí pomocí hořáků na směs dálkový plyn + vzduch. Prudkým ohřevem vzniká ve skleněném výrobku velké vnitřní napětí vlivem teplotní roztažnosti. Překročili-li vnitřní napětí pevnost skla dojde k prasknutí výrobku v nasazené rovině pukačí. Oddělenou hlavici a misku odnáší obsluha k dalším operacím.

Vzhledem k tvaru misky <sup>n7</sup> lze nastavit v každém pracovním místě svou polohu, ikdyž je místo nakládáno do kradic. Vlastní proužku

Vzhledem k tvaru misky nelze nastavit u všech výrobků stej-  
nou polohu, i když je miska pekládána do kroužku. V tomto krouž-  
ku musí oběma vystředit výrobek tak, aby rovina pukání byla  
kolmá k ose výrobku. To není vždy přesné a rovina pukání není  
kolmá. Dalším záporo této opravy je nerovnost opuknuté plochy,  
která vzniká v důsledku centrování za stálého působení plamene.

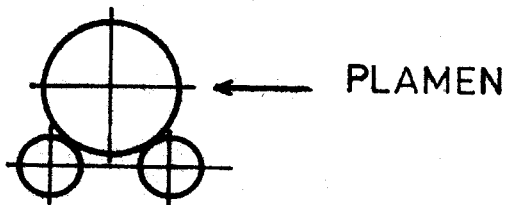
Pukání samo nevytváří rovnou opuknutou plochu. Dochází k  
tzv. zabíhání.

Všechny nerovnosti a nepravidelnosti se musí obrousit. Brou-  
šení se provádí na horizontálních broušicích strojích.

### 1.2. Oddělování hlavice u středních dílů.

Oddělování hlavice u středních dílů se provádí dvakrát. Střed-  
ní díl je přehesí a pro vyfouknutí musí být výrobek usavřen, proto  
se musí oddělit hlavice i spodní díl. Oddělování hlavice se  
opět provádí na horizontálních pukacích strojích P4. Oddělení  
spodního dílu se nemůže provádět na strojích P4, protože opuknu-  
tá rovina není rovná a chyba v nové rovině by byla větší o hod-  
notu první chyby.

Oddělení spodního dílu se provádí na zařízení, které bylo  
vyrobene v K. p. Lustry viz. obr.3. Jedná se opět o opukování,  
ale rotace výrobku je v horizontální rovině na dvou hřídelích.  
Na těchto hřídelích jsou navlečeny gumové kroužky pro sajištění  
přenosu kroutícího momentu na výrobek. Polohu výrobku sajišťují  
štyři stavitelné kroužky na obou hřídelích. Horizontální polo-  
ha výrobku umožňuje pukání obou částí současně, proto u některých  
výrobků se pukání na strojích P4 neprovádí.



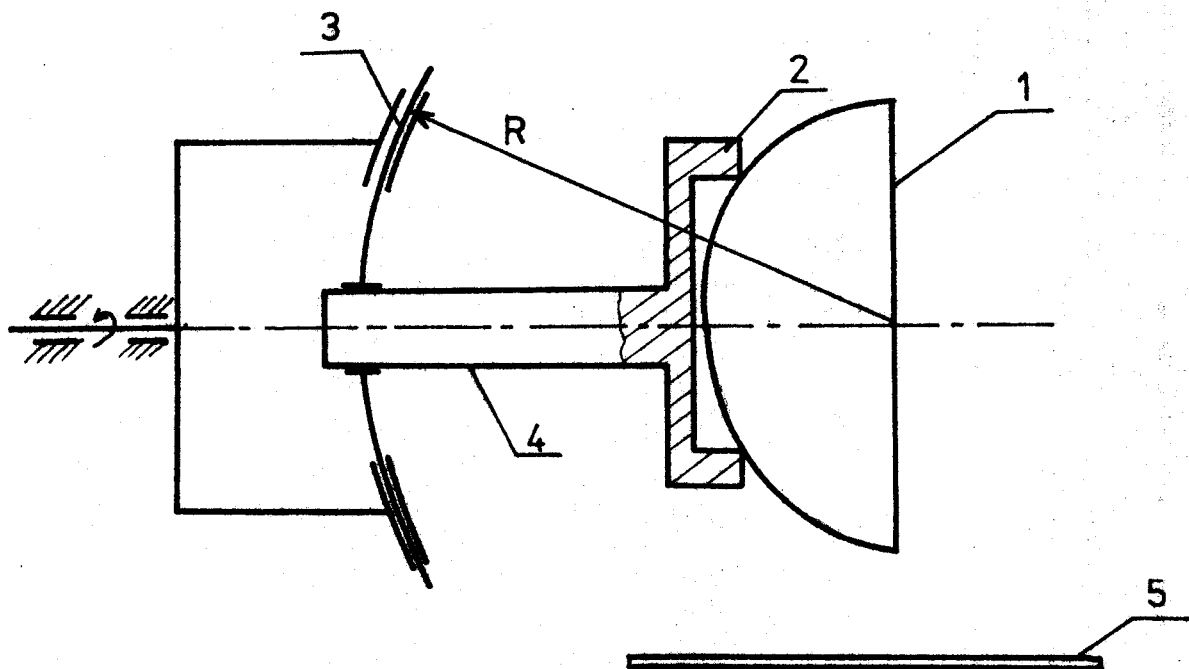
Obr.3

## 2. ALTERNATIVNÍ ŘEŠENÍ

Z analýzy současného stavu vyplývá, že nejdůležitější pro přesnost oddělování je způsob upínání misek a středních částí. Upínání má zajistit odchylku roviny dělení maximálně 1 mm od roviny kolmé na osu na příslušném průměru výrobku.

### 2.1. Vakuové upínání a středění na matnici. obr. 4.

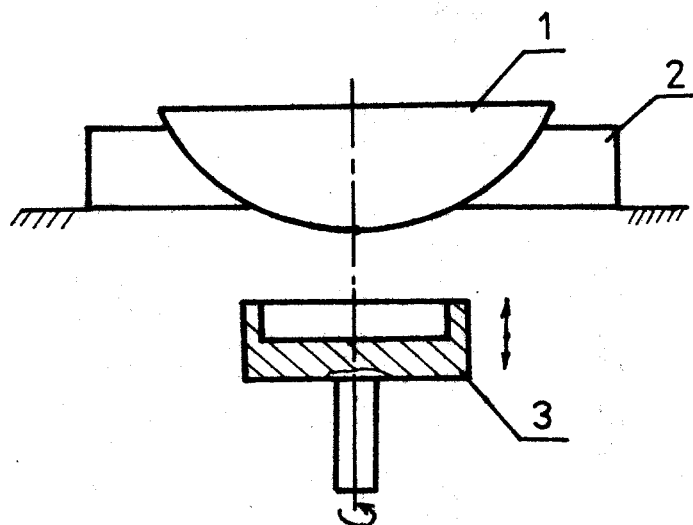
V tomto řešení by obaluhá vložila misku 1 na přísavku 2 a po připojení na podtlak se miska upevní. Další operace je vycentrování. To by se provádělo nastavením pomocí kloubu 3, přes který je vázána přísavka k rámu. Přísavka je uchycena na rameni 4, které má stavitelnou délku. Tato podmínka vyplývá z nutnosti odčíst výrobek kolem osy ležící v rovině oddělování. Vystředění spočívá ve stotožnění stínu obrysu výrobku s tvarem na stínítku 5. Toto srovnání stínu a obrysu na stínítku je nutno provádět v rovinách, které jsou k sobě kolmé. Po vystředění lze provádět oddělování pelose, která je nakreslena na obr. 4.



Obr. 4.

## 2.2. Vakuové upínání a středění do čelistí. obr. 5.

Misku 1 by obaluhá položila do trojice čelistí 2, ve kterých je výřez tvaru výrobku. Výretek by dosedl do čelistí, čímž by se vystředil. Po vystředění následuje vakuové upínání přísavkou 3, která se zvedá středem mezi do výšky, která umožní přístup po celém obvodu v místě oddělování. Pak může následovat oddělování. Po oddělení hlavice od misky odejme obaluhá hlavici i misku a operace se opakuje.



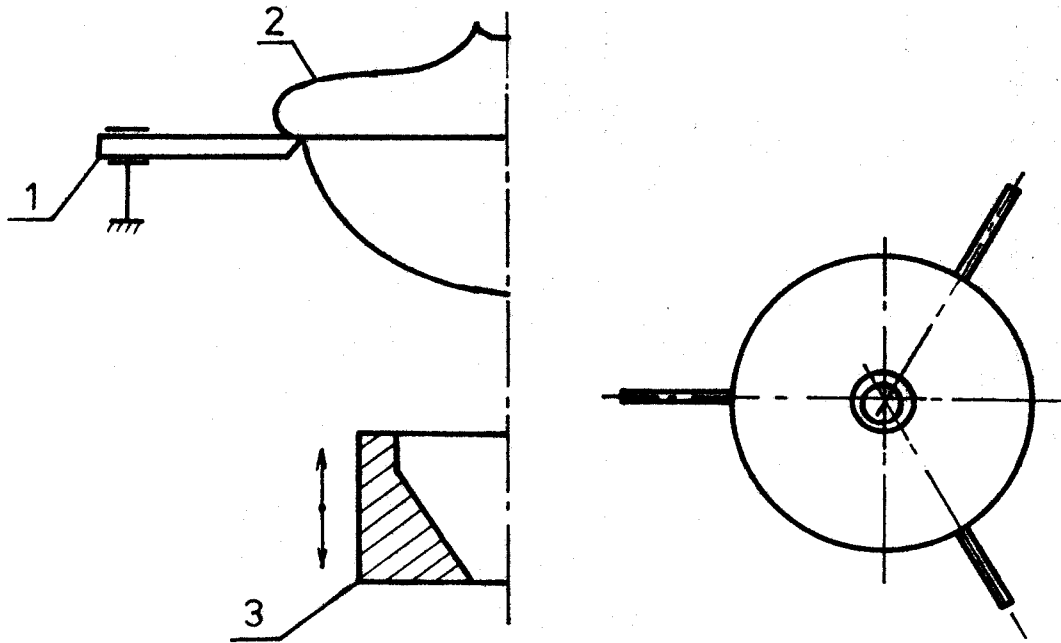
Obr. 5.

## 2. 3. Vakuové upínání na technologický výstupek obr. 6.

Toto řešení by si vyžádalo takové úpravy na formách, aby při tvarování výrobku vznikla v horní části výrobku výstupek po celém obvodu. Za tento výstupek by se miska 2 chytala na tři hraty 1 po 120°. To zajišťuje splynutí osy otáčení s osou výrobku, to zajišťuje kolmost roviny dělení s osou výrobku.

Po vystředění misky by došlo k jejímu upnutí pomocí přísavky 3. Příklad by byla konstruována tak, aby po vystředění zvedla misku asi o 30 mm nad dřevěň uchytaných hrotů. To vy-

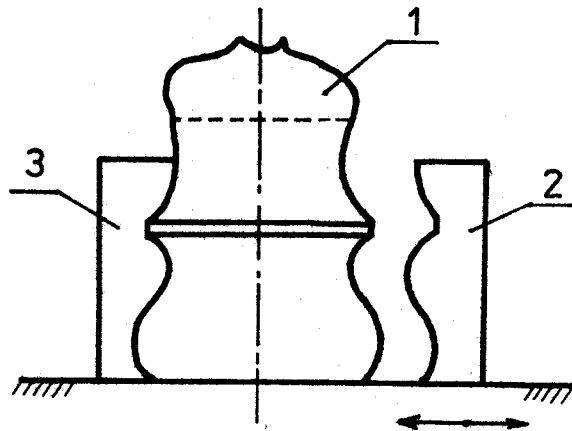
plývá z nutnosti přístupu po celém obvodu k výrežku v místě oddělování.



Obr. 6.

#### 2.4. Mechanické upínání středních dílů obr.7.

Při použití této alternativy se podstatně zvýší rychlost středění a upínání, protože tyto operace jsou spojeny v jednu. Střední díly 1 by se upínaly pomocí dvou čelistí, ve kterých je vyřezán odpovídající tvar výrežku. Obaluba položí střední díl na desku upínací hlavy a přiblížení čelistí se výrežek vystředí a upevní. Pohyb jedné čelisti 2 by sajišřoval pneumatický válec a druhá čelist 3 by byla pevná. Při tomto způsobu upínání musí mít každý výrežek odpovídající čelisti. Tyto čelisti by bylo nutno vyrábět souměrně s formami.



Obr. 7.

## 2.5. Zhodnocení.

### 2.5.1. Upínání mísek.

Při upínání mísek bylo nutné zvážit tři možnosti. Možnost upínání a středění viz. kap. 2.2. nelze použít. Tento závěr vyplynul ze zkoušek na modelu. Celý model byl vyroben z organického skla. Na kruhovou desku byli pomocí šroubů posuvně upnuty tři čelisti, ve kterých byl odpovídající tvar mísky. Opakovaným postavováním mísky na tento model se roviny jednotlivých překážek značně lišily. Výsledkem polohu značně ovlivňoval způsob stavení.

Vprovozů tuto možnost nelze uplatnit z důvodu, že přesnost pukání ovlivňuje obsluha.

Druhá možnost upínání viz. kap. 2.1. má požadovanou přesnost, ale tuto přesnost musí opět ovlivňovat obsluha. Další nevýhodou tohoto řešení je dlouhá doba vyšetřování.

Třetí možnost upínání misk *vis. kap. 2.3.* Tato možnost má dostatečnou přesnost při velkých rychlostech středění. Obalová velikost chyby nemůže ovlivnit.

Po konzultaci s pracovníky k. p. Lustry Kamenický Šenov byla pro upínání vybrána alternativa vakuového upínání a středění na technologický výstupek po obvodu *vis. kap. 2.3.*

Oddělování bude realizováno řezáním diamantovou pilou *vis. kap. 3.2.*

Princip upínací hlavy pro misky je stejný z *kap. 2.3.* Konstrukční uspořádání (*viz. příloha č. v. 1 DP 348/80 01 00*).

#### 2.5.2. Upínání středních dílů.

Pro upínání středních dílů je řešení (*vis. kap. 2.4.*) jednoduché. Tímto způsobem lze dosáhnout požadované přesnosti upínání. Rychlost tohoto upínání je dostatečně vysoká. Pro provoz bude nutné, aby nákladový výrobek svoje upínací čelisti, to se odrazí ve výrobních nákladech.

Princip upínací hlavy pro střední díly je stejný z *kap. 2.4.* Konstrukční uspořádání (*viz. příloha č. v. 1 DP 348/80 02 00*).

#### 2.5.3. Obvod pro vakuové upínání.

Obvod pro vakuové upínání musí zajistit dostatečnou normálovou sílu  $F_{N1}$ , aby se výrobek nemohl vychýlit z původní polohy. Další úkolem tohoto obvodu je připojení vakua v době, kdy přísavka koná pohyb směrem k misce. Nutnost časového předstihu vyplývá z možnosti vychýlení misky v přísavce. Zapojení je stejné z (*přílohy č. v. 3 DP 348/80 03 00*).

## 3. ZPŮSOBY ODĎĚLOVÁNÍ

### 3.1. Pukání.

Pukání jako následná operace po chlazení se provádí za účelem odstranění tzv. kopny. Kopna je nutná při tvarování pro uzavření tvaru, aby bylo umožněno foukání tlakovým vzduchem, čímž se vytváří výšečný tvar výrobku.

Při pukání se využívá tepelné roztažnosti skla a teplotního gradientu. Působení obou faktorů vyvolá ve skle vnitřní pnutí. Při ochlazení povrchu skla vzniká na povrchu tlakové napětí a uvnitř tahové napětí, je-li tahové napětí větší než pevnost skla, dojde k prasknutí výrobku v místě maximálního napětí. Tohoto principu se využívá k odělování skleněných hlavíc od výrobku.

V praxi se pukání provádí na pukacích strojích, kde je přívod tepla realizován pomocí hořáků na směs dálkový plyn + vzduch. Pro zvýšení teplotního gradientu se používá hořáku s ostrým plamenem, který směřuje do místa budoucího okraje. Pro zvýšení přesnosti opuknuté ploch se provádí nařezávání vidiovým hrotem.

### 3.2. Řezání diamantovou pilou. [1.]

V současné době se ve sklářství stále více využívá diamantových pil k řezání skla. V některých případech jsou ekonomické výsledky tohoto nového způsobu zpracování stále negativní. Příčinou negativních výsledků je špatné volení technologických podmínek.

Uživatel kotoučových diamantových pil musí největší pozornost věnovat chlazení, způsobu přívodu chladičí kapaliny přímo do místa kontaktu nástroje s obrobkem, dále druhu a množství

chladičí kapaliny. Není však vhodné zvyšovat množství chladičí kapaliny nad 5l/min, potom kapalina proudí velkou rychlostí a při dopadu na obrobek nebo nástroj se odráží a do místa styku obrobku s nástrojem se dostane malé množství.

Účinný způsob přívodu chladičí kapaliny, správná volba druhu chladičí kapaliny podmínuje další doporučení při volbě technologických parametrů:

- řezná rychlost
- rychlost posuvu do řezu.

Minimální hodnotu řezné rychlosti zvýšit na hranici 30 g/s. Postupujícího účinku chlazení zvýšit řeznou rychlost na 40 - 50 m/s. Řeznou rychlost ovlivňuje i možnost dostatečného ochlazení diamantových gra v aktivní vrstvě diapily. Dobré ochlazení je ovlivňováno poměrem pracovního času  $t_1$  k času chlazení  $t_2$ . S klesajícím poměrem  $t_1/t_2$  lze zvyšovat řeznou rychlost a naopak.

Volbu rychlosti posuvu do řezu ovlivňuje požadavek jakosti opracovaného povrchu a velikost lešturových záprasků na hranách dělicích rovin. Při řezání bez nároků na jakost povrchu je možné zvyšovat rychlost posuvu do řezu na 10 cm/min. Velikost rychlosti posuvu do řezu ovlivňuje také síla řezaného skla. Se zvyšující se tloušťkou oděšlovaného skla je nutno snížit rychlost posuvu do řezu.

## 4. N A V R H O V A N Ě R Ě Š Ě N Í

### 4.1. Oddělovací zařízení (viz. příloha č. v. 0 DP 348/80 00 00).

Pro celkový návrh oddělovací hlavice se vychází z prototypu VÖUS Nový Bor, "Oddělovací silnostrojích hlavice". Z tohoto zařízení je použito několik základních prvků, které se nemusí měnit vzhledem k novému řešení. K těmto prvkům patří především rám, mechanismus pro nastavení průměru řezaných dílů, pohon diamantových pil, mechanismus posuvu do řezu, šerpacie a rozvod chladicí kapaliny.

Konstrukční úpravy, které je nutné provést na prototypu se budou týkat mechanismu nastavení výšky diamantových pil, pojízdového vozíku, upínacích hlav pro vnitřní i střední díly, vývěry a pneumatického pohonu.

### 4.2. Nastavení výšky diapi (viz. příloha č. v. 0 DP 348/80 00 00; pozice 11).

Tento mechanismus nastavení výšky diapi se skládá z vedení a dvou pohybových šroubů. Vedení je realizováno pomocí dvou vodičů trubek na jedné straně, po kterých se pohybuje příčnick v němž je ukotveno vedení pro mechanismus nastavení průměru řezaného výrobku. Příčnick má pro aretaci v nastavené poloze dva protáhlé šrouby. Příčnickem prochází dva svídlé pohybové šrouby, kterými se nastavuje výška řezu. Pro synchronizaci obou pohybových šroubů je náhon proveden kuželovými koly na společném hřídeli.

### 4.3. Pojízdový vozík (viz. příloha č. v. 1 DP 348/80 01 00).

Pojízdový vozík slouží k uchycení upínacích hlav, zajišťuje posuv do řezu a rotaci výrobku. Vozík se pohybuje po vedení, které rztává s původního provedení. Posuv vozíku zajišťuje pneumatický válec, který je uchycen na rámu a pístnice na vozíku.

Rotace upínací hlavy je řešena ozubenou pístnicí, která se-

padá do pastorku uchyceného na upínací hlavě.

#### 4.4. Pohon navrhovaného zařízení (viz. příloha 3 DP 348/80 03 00).

Pohon navrhovaného zařízení je pneumatický, jako pracovní médium byl zvolen tlakový vzduch o tlaku 0,6 MPa.

K sestavení pneumatického obvodu je použito pneumatických prvků z katalogu [3]. Popis obvodu je proveden rovnicemi.

#### Popis pneumatického obvodu.

Použité prvky	Označení
R <sub>1</sub> - rozvaděč impulzí	JP - 4 - 1/8
R <sub>2</sub> - rozvaděč impulzí	JP - 4 - 1/8
R <sub>3</sub> - rozvaděč impulzí	JP - 4 - 1/8
R <sub>4</sub> - rozvaděč impulzí	JP - 4 - 1/8
R <sub>5</sub> - rozvaděč tlačítkový robustní	ZV - 3 - 1/8
R <sub>6</sub> - koncový spínač pneumatický	VS - 3 - 1/8
R <sub>7</sub> - koncový spínač pneumatický	VS - 3 - 1/8
R <sub>8</sub> - rozvaděč impulzí	JP - 4 - 1/8
R <sub>9</sub> - koncový spínač pneumatický	VS - 3 - 1/8
R <sub>10</sub> - rozvaděč tlakově ovládaný s vratnou pružinou	VLO- 3 - 1/8
R <sub>11</sub> - koncový spínač pneumatický	VS - 3 - 1/8
R <sub>12</sub> - koncový spínač pneumatický	VS - 3 - 1/8
R <sub>13</sub> - rozvaděč tlakově ovládaný s vratnou pružinou	VLO- 3 - 1/8
R <sub>14</sub> - rozvaděč impulzí	JP - 4 - 1/8
SV <sub>1</sub> - škrticí ventil	
SV <sub>2</sub> - škrticí ventil	
SV <sub>3</sub> - škrticí ventil	
VJ <sub>1</sub> - jednosměrný ventil	
VJ <sub>2</sub> - jednosměrný ventil	

VP - pneumatický válec posuvu  
 VO - pneumatický válec stáčení  
 VZ - pneumatický válec sávků  
 VU - pneumatický válec upínací

Rovnice.

$$S(\vec{R}_1, \vec{R}_3, \vec{R}_{14}) = r_{5,1} \cdot [R_1 \cdot \bar{F}_{14,1} + R_3 \cdot \bar{F}_{14,1} + R_{14} \cdot \bar{F}_{12,2}]$$

$$S(\vec{R}_1, R_8 \uparrow, R_{13} \uparrow) = r_{13,1} [R_{13} \cdot \bar{F}_{7,2} + R_{14,2} (R_1 \cdot \bar{F}_{5,2} + R_3 \cdot \bar{F}_{5,2} + R_8 \cdot \bar{F}_{7,2})]$$

$$S(\vec{R}_2, \vec{R}_{14}) = r_{12,1} \cdot [R_{13,1} \cdot R_2 \cdot \bar{F}_{7,2} + R_{14} \cdot \bar{F}_{5,2}]$$

$$S(\vec{R}_2, R_{13} \downarrow, R_8 \downarrow) = r_{7,1} \cdot [R_2 \cdot \bar{F}_{13,2} + R_8 \cdot \bar{F}_{14,1} + R_{13} \cdot \bar{F}_{11,2}]$$

$$S(\vec{R}_4) = r_{9,1} \cdot R_{10,1} \cdot R_4 \cdot \bar{F}_{8,2}$$

$$S(R_5 \downarrow) = \text{tlačítko}$$

$$S(R_5 \uparrow) = \text{pružina}$$

$$S(R_6 \uparrow) = \text{pružina}$$

$$S(R_6 \downarrow) = \text{VO levá poloha}$$

$$S(R_7 \uparrow) = \text{pružina}$$

$$S(R_7 \downarrow) = \text{VO pravá poloha}$$

$$S(\vec{R}_9) = \text{VZ dolní poloha}$$

$$S(\vec{R}_9) = \text{pružina}$$

$$SS(\vec{R}_{10}) = \text{pružina}$$

$$S(\vec{R}_4, \vec{R}_{10}) = r_{6,1} \cdot r_{8,1} \cdot [R_4 \cdot \bar{F}_{10,2} + R_{10} \cdot \text{pružina}]$$

$$S(R_{11} \uparrow) = \text{pružina}$$

$$S(R_{11} \downarrow) = \text{VP levá poloha}$$

$$S(R_{12} \uparrow) = \text{pružina}$$

$$S(R_{12} \downarrow) = \text{VP pravá poloha}$$

$$S(\vec{VO}) = r_{2,1} \cdot (\vec{v}_{s1} + \vec{v}_{j1}) \cdot VO \cdot \bar{F}_{22}$$

$$S(\vec{VO}) = r_{2,2} \cdot VO \cdot (\vec{v}_{s1} + \vec{v}_{j1}) \cdot \bar{F}_{21}$$

$$S(VS!) = v_{a_3} \cdot r_{31} \cdot VZ. / \text{atmosféra}$$

S(VZ+) = vlastní vahou nebo pružinou

$$S(\bar{VP}) = r_{4,1} \cdot (v_{a_2} + v_{j_2}) \cdot VP \cdot \bar{r}_{12}$$

$$S(\bar{VD}) = r_{4,2} \cdot VP \cdot (v_{a_2} + v_{j_2}) \cdot \bar{r}_{4,1}$$

### 5. VÝPOČTOVÁ ČÁST

Výpočet řezných sil - radiální a tečná .

Řezná síla radiální.

$$F_R = 1,028 \cdot \frac{v_p \cdot K}{v_T \cdot s_d} \quad (1)$$

Řezná síla tečná.

$$F_T = 0,133 \cdot \frac{v_p \cdot K}{v_T \cdot s_d} \quad (2)$$

Pro výpočet řezných sil jsou veškeré hodnoty:

$$v_p = 7,5 \text{ cm/min}$$

$$v_T = 210 \text{ 000 cm/min}$$

$$s_d = 0,0141 \text{ cm}$$

$$K = 100\%$$

Dosažením do vztahů (1) a (2) dostaneme hodnoty řezných sil.

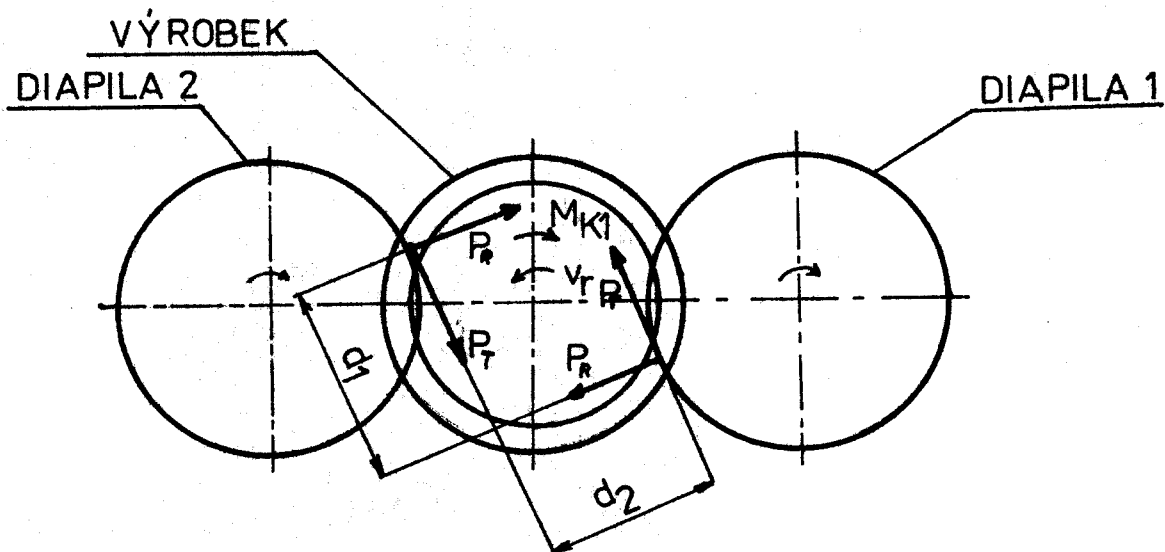
$$F_R = 1,028 \cdot \frac{7,5 \cdot 0,485 \cdot 100}{210 \text{ 000} \cdot 0,0141} = \underline{\underline{23 \text{ N}}}$$

$$F_T = 0,133 \cdot \frac{7,5 \cdot 0,676 \cdot 100}{210 \text{ 000} \cdot 0,0141} = \underline{\underline{3,8 \text{ N}}}$$

Otáčky diamantové pily o průměru  $D = 0,2 \text{ m}$ .

$$n = \frac{v_T}{\pi \cdot D} = \frac{210 \text{ 000}}{\pi \cdot 0,2 \cdot 100} = \underline{\underline{3342 \text{ 1/min}}}$$

Kroučící moment vyvolaný řeznými silami.



Obr. 8.

Z obrázku 8. vyplývá rovnice pro výpočet vyvolaného kroučícího momentu:

$$M_{K1} = P_T \cdot d_1 = P_T \cdot d_2 \quad (3)$$

Vzhledem k technologickým podmínkám je snazší určit hodnoty  $d_1$  a  $d_2$  grafickou metodou než početní metodou.

Z grafického řešení pro průměr pily  $D_T = 0,2$  m a pro maximální průměr výrobku  $d_2 = 0,2$  m vyšly hodnoty:

$$d_1 = d_2 = 0,132 \text{ m}$$

Dosažením za  $d_1$  a  $d_2$  do rovnice (3) dostaneme maximální hodnotu kroučícího momentu.

$$M_{K1} = 23 \cdot 0,132 = 9,8 \cdot 0,132 = \underline{\underline{1,274 \text{ Nm}}}$$

Tento krouticí moment je maximálním krouticím momentem, který musí přenést přísavka na výrobek. Z této podmínky lze stanovit normálovou sílu  $F_{N1}$ , kterou musí vyvolat přísavka.

$$M_{kmax.} = M_{k2min.} \quad (4)$$

### Výpočet přísavky

Z průměrů misek vyplývá, že maximální průměr přísavky lze volit  $d = 0,06$  m. Pětiletá s vývěvy  $P_v = 0,05$  MPa.

Normálová síla přísavky:

$$F_{N1} = P_v \cdot \frac{\pi \cdot d^2}{4} \quad (5)$$

Dosazením zvolených hodnot do rovnice (5) dostaneme hodnotu normálové síly přísavky  $F_{N1}$ .

$$F_{N1} = 0,05 \cdot 10^6 \cdot \frac{\pi \cdot 0,06^2}{4} = \underline{\underline{141,3 \text{ N}}}$$

Tečná síla přísavky.

$$F_{T1} = F_{N1} \cdot f_0 \quad (6)$$

Z [2] je koeficient tření kov na pryž  $f_0 = 0,6$ , pro tento případ lze volit koeficient tření stejný. Dosazením do rovnice (6) dostaneme třecí sílu  $F_{T1}$ .

$$F_{T1} = 141,3 \cdot 0,6 = \underline{\underline{84,8 \text{ N}}}$$

Z tečné síly lze vypočítat krouticí moment přenášený přísavkou na výrobek.

$$M_{k2} = F_{T1} \cdot \frac{d}{2} \quad (7)$$

Dosazením do rovnice (7) dostaneme krouticí moment přísavky.

$$M_{k2} = 84,8 \cdot \frac{0,06}{2} = \underline{\underline{2,5 \text{ Nm}}}$$

Krouticí moment vyvolaný dosahují silami a krouticí moment přenášený přísavkou na výrobek splňují rovnici (4).

$$M_{K1 \text{ max.}} < M_{K2 \text{ min.}} \quad (8)$$

Upínací síla pro střední díly.

Kroučící moment vyvolaný řeznými silami zůstává v tomto případě stejný  $M_{K1} = 1,74 \text{ Nm}$ . Upínací sílu je možno stanovit s podmínky, že kroučící moment  $M_{K1 \text{ max.}}$  musí být menší než kroučící moment vyvolaný upínacími čelistmi. Ze vztahu (9), že s klasickým průměrem výrobku roste normálová síla mechanického upínání. Pro výpočet upínací síly vyplývá minimální průměr výrobku  $d_3 = 0,035 \text{ m}$ .

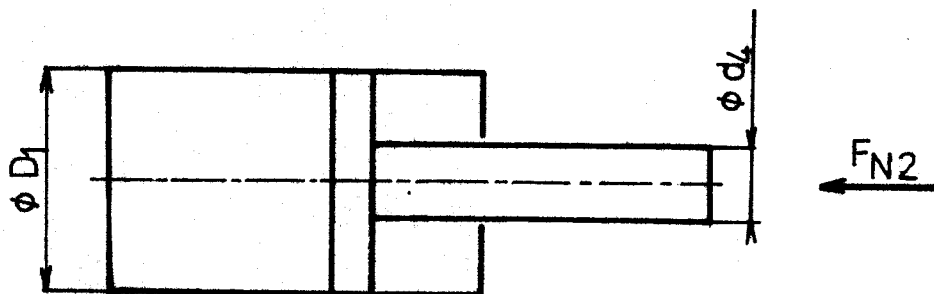
$$F_{N2} = \frac{F_{T2}}{f_0}$$

$$F_{N2} = \frac{M_{K1 \text{ max.}}}{d_3 \cdot f_0} \quad (9)$$

Z rovnice (9) po dosazení za  $M_{K1} = 1,74 \text{ Nm}$ ,  $d_3 = 0,1 \text{ m}$  a  $f_0 = 0,6$  [2] dostaneme přítlakovou sílu  $F_{N2}$ .

$$F_{N2} = \frac{1,74}{0,1 \cdot 0,6} = \underline{\underline{29 \text{ N}}}$$

Zeměsíly  $F_{N2}$  lze vypočítat průměr pneumatického válce  $D_1$ .



Obr. 9.

Z obr.9. vyplývá vztah pro výpočet normálové síly upínání.

$$F_{N2} = p \cdot \frac{\pi \cdot D_1^2}{4} - \frac{\pi \cdot d_4^2}{4} \quad (10)$$

Vyjádření  $D_1$  s rovnice (10) dostaneme vztah pro výpočet průměru válce při zvoleném průměru pístitnice  $d_4$ .

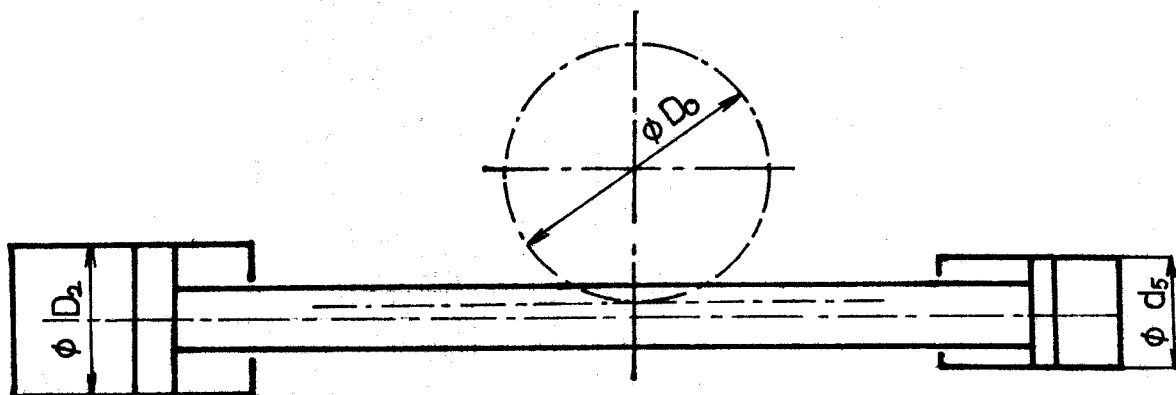
$$D_1 = \sqrt{d_4^2 + \frac{F_{N2} \cdot 4}{\pi \cdot p}} \quad (11)$$

Dosažením do rovnice (11) za  $d_4 = 0,01$  m,  $F_{N2} = 82,85$  N a  $p = 0,6$  MPa dostaneme hodnotu průměru pneumatického válce  $D_1$ .

$$D_1 = \sqrt{0,01^2 + \frac{82,85 \cdot 4}{\pi \cdot 0,6 \cdot 10^6}} = \underline{\underline{0,018 \text{ m}}}$$

Vzhledem k různým průměrům a různým tvarům se mění normálová síla  $F_{N2}$ , proto pro konstrukci pneumatického válce je zvolen průměr válce  $D_1 = 0,018$  m.

Centrální kola a pístitnice mechanického ovládní upínacích hlav.



Obr. 10.

Úhel natočení upínací hlavy  $\alpha = 240^\circ$

Modul ozubení  $m = 2 \text{ mm}$ .

Pro výpočet rozečísané kružnice ozubeného kola platí vztah (12).

$$D_0 = z \cdot m \quad (12)$$

Počet zubů je volen  $z = 21$  a po dosazení do vztahu (12) dostaneme průměr rozečísané kružnice  $D_0$ .

$$D_0 = 2 \cdot 21 = 42 \text{ mm}$$

Pro výpočet sávků pístitnice lze podle obr. 10. odvodit vztah

$$h = \frac{\pi \cdot D_0}{360} \cdot \alpha \quad (13)$$

Po dosazení do vztahu (13) dostaneme sávek pístitnice, který zajistí otočení upínací hlavy o úhel  $\alpha$ .

$$h = \frac{\pi \cdot 42}{360} \cdot 240 = 88 \text{ mm}$$

Pro konstrukci pneumatického válce je brána hodnota  $h = 90 \text{ mm}$ .

#### Výpočet průměru pneumatického válce pro otáčení.

Kroučící moment otáčení  $M_{K3}$  se musí rovnat momentu, který přenese přísavka nebo mechanické upínání na výrobek. Pro tuto podmínku platí vztah

$$M_{K3} = M_{K2} \quad (14)$$

Z kroučícího momentu otáčení a z průměru pastorku lze vypočítat normálovou sílu  $F_{N3}$ .

$$M_{K3} = F_{N3} \cdot \frac{D_0}{2} \quad (15)$$

Dosazením vztahu (15) do rovnice (14) dostaneme vztah pro výpočet síly  $F_{N3}$ .

$$F_{N3} = \frac{2 \cdot M_{K2}}{D_0} \quad (16)$$

Pro výpočet průměru pístu platí vztah

$$D_3 = \sqrt{\frac{F_{p2} \cdot 4}{\pi \cdot p}} \quad (17)$$

Dosažením vztahu (16) do vztahu (17) dostaneme rovnici pro výpočet průměru pneumatického válce  $D_3$ .

$$D_3 = \sqrt{\frac{2 \cdot M_{p2} \cdot 4}{\pi \cdot D_0 \cdot p}} \quad (18)$$

Po dosažení do vztahu 18 za  $M_{p2} = 2,5 \text{ Nm}$ ,  $D_0 = 0,042 \text{ m}$  a  $p = 0,6 \cdot 10^6 \text{ Pa}$  dostaneme hodnotu průměru pneumatického válce pro otáčení upínacích hlav.

$$D_3 = \sqrt{\frac{2 \cdot 4 \cdot 2,5}{\pi \cdot 0,6 \cdot 10^6 \cdot 0,042}} = \underline{\underline{0,016 \text{ m}}}$$

Pro konstrukci pneumatického válce je volen průměr  $D_3 = 18 \text{ mm}$ , pro pístnici  $d_3 = 10 \text{ mm}$ .

## 3a. TECHNICKO-EKONOMICKÉ ZHODNOCENÍ

Pro technickoekonomické zhodnocení jsou použity hodnoty, které charakterizují stávající způsob oddělování klovie v z. p. Lustry Kamenný Šenov. Pro navržené zařízení jsou použity hodnoty vypočteny z kinematických sdíleností a odhadnutých. Z těchto hodnot lze určit vhodnost či nevhodnost navrženého zařízení z hlediska ekonomického.

Důležitým faktorem pro vhodnost nového zařízení je doba návratnosti investic, rovněž důležitá je i snížení či zvýšení počtu pracovníků obsluhujících zařízení.

### Hodnoty pro stávající zařízení.

Druh výrobku:	Počet kusů za rok:
Misky $\phi$ 140 mm	200 000
Misky $\phi$ 200 mm	40 000
Střední díly	48 000

Operace:	Druh výrobku:	Min./kus	Kčs/kus
Pukání	Misky $\phi$ 140 mm	0,4	0,04
	Misky $\phi$ 200 mm	0,5	0,06
	Střední díly	0,5	0,06
Broušení	Misky $\phi$ 140 mm	0,74	0,09
	Misky $\phi$ 200 mm	1,44	0,09
	Střední díly	1,44	0,16

Operace:	Průměrná měra:	Počet pracovníků:
Pukání	12 480 Kčs	0,84
Broušení	<u>31 200 Kčs</u>	<u>1,94</u>
<b>Celkem:</b>	<b>43 680 Kčs</b>	<b>2,78</b>

Průměrná meza na jednoho pracovníka je 15 683 Kčs.

Procento reálie: 439%.

Hodnota nové navržené zařízení.

Cena zařízení: 30 000 Kčs

Druh výrobku:	Čas potřebný na jeden kus:
Misky φ 140 mm	0,8 min.
Misky φ 200 mm	1,6 min.
Střední síly	1,6 min.

Výpočet:

Čas potřebný k výrobě polštářového množství kusů:

Stávající způsob	6 685 hod.
Navrhované zařízení	5 013 hod.

Počet pracovníků na výrobu polštářového množství kusů:

Stávající způsob	2,78
Navrhované zařízení	2,0

Úspora pracovníků: 0,78

Úspora času: 1672 hod.

Po převedení úspory pracovníků a úspory času na koruny dostaneme úspory v částce 30 000 Kčs.

Doba úhrady investic =  $\frac{100\ 000}{30\ 000} = 3,3$  roků

Z těchto ekonomických zjednocení vyplývá, že navrhované zařízení je vhodné pro zavedení do výroby.

## ZÁVĚR

Okolo diplomové práce bylo navrženo zařízení na oddělování skleněných hlavíc.

Bylo navrženo oddělování skleněných hlavíc pomocí diamantové pily v polese, kterou fixuje upínací hlava. Vzhledem k širokému sortimentu výrobků nebylo možné navrhnout univerzální hlavu a proto jsou upínací hlavy dvě. Jedna upínací hlava pro misty má středění na technologický výstupek po obvodu a upínání přísavkou. Druhá upínací hlava pro střední díly má mechanické upínání v němž současně probíhá středění.

Zekonomického zhodnocení vyplývá vhodnost navrženého zařízení pro výrobu.

Vhodnost potvrzuje i technické zhodnocení. Navržené zařízení spojuje dvě následné operace v jednu, čímž odpadá fyzicky velmi náročná operace broušení, kdy pracovník musí pracovat celou směnu v mokré prostředí. Spojení operací přináší i úsporu nesúperadní dopravy polotovárů.

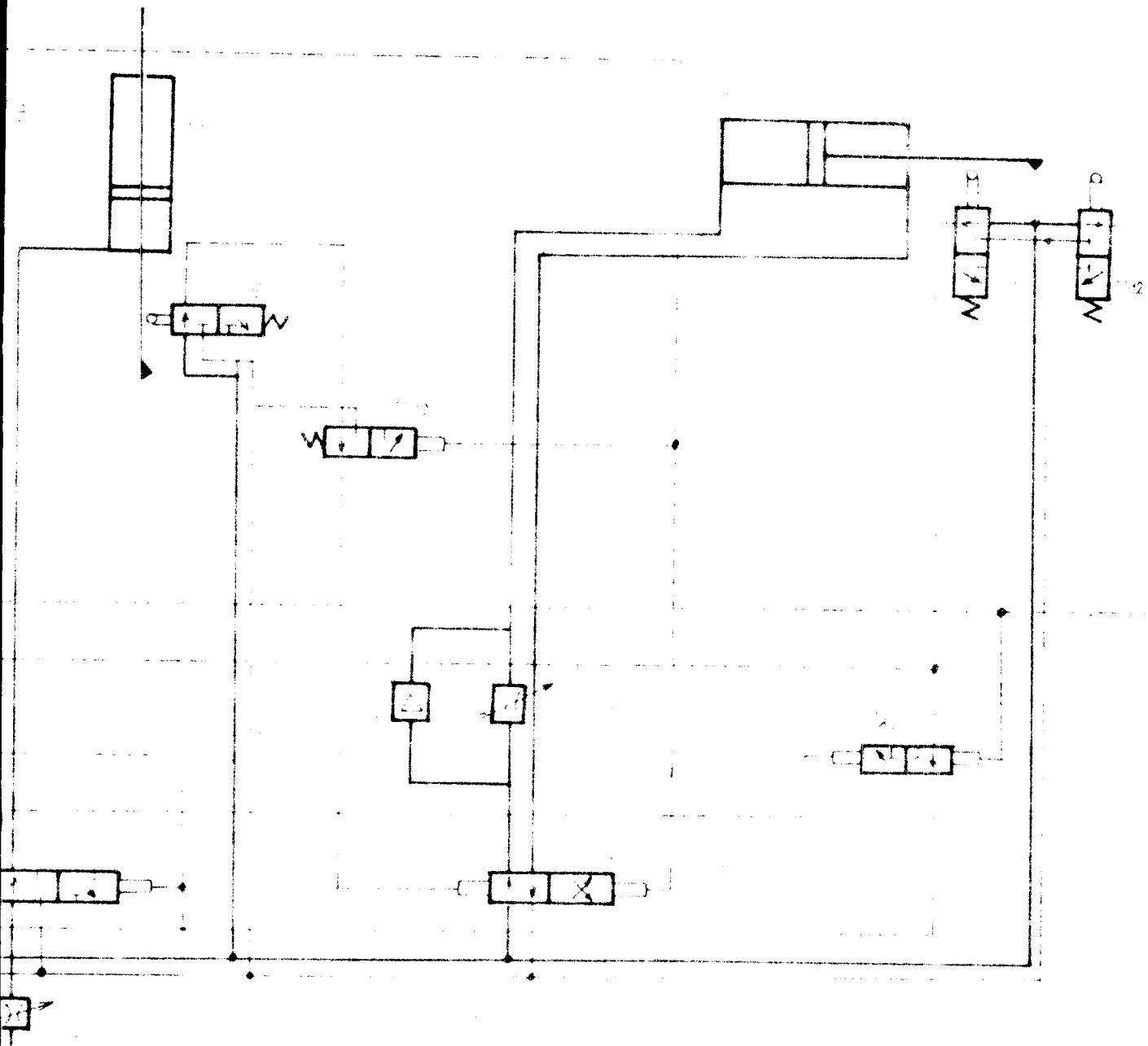
Závěrem bych chtěl poděkovat vedoucímu práce ing. J. Nočekovi, Čes a konsultantu ing. P. Fajerovi za příkladnou pomoc při práci na diplomovém úkolu.

V Liberci dne:

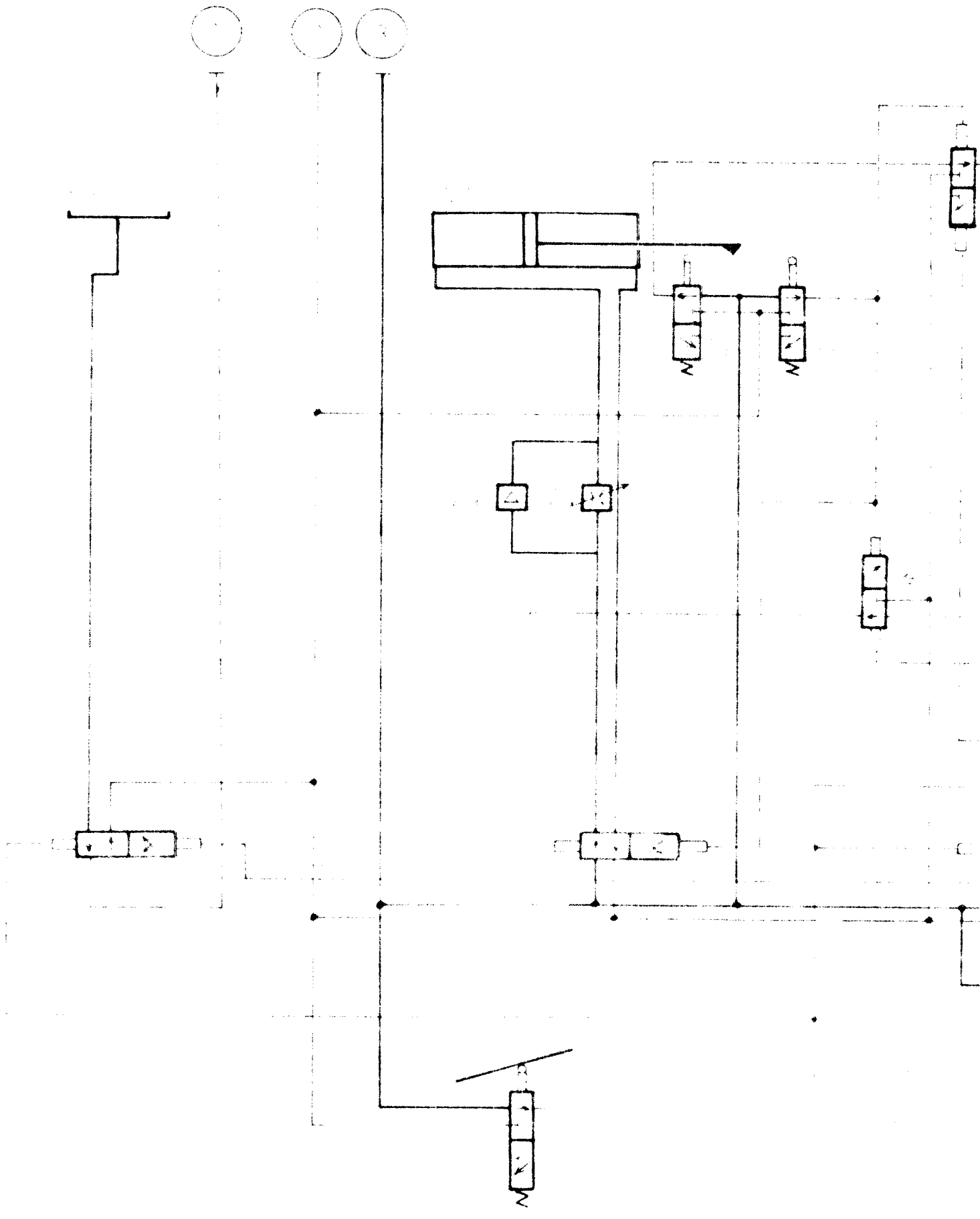
24. 4. 1980

## SEZNAM POUŽITÉ LITERATURY

- [1] Sixta J.: Řezání skla nástroji s pevně vázanými diamantovými zrny. /Disertační práce/
- [2] Bartoš J. a kol.: Stojnické tabulky. SNTL Praha 1977.
- [3] Katalog: FESTO - Maschinenfabrik.
- [4] Pešek K.: Hutní sklařká příručka.



12







№.№.	№.№.№.	№.№.№.	№.№.№.	№.№.№.	№.№.№.	№.№.№.	№.№.№.	№.№.№.
1	Deska 40x10	OSN 40 1110	11 140		1			1
2	Deska 40x10	OSN 40 1110	11 140		1			2
3	Deska 40x10	OSN 40 1110	11 140		1			3
4	Deska 40x10	OSN 40 1110	11 140		1			4
5	Deska 40x10	OSN 40 1110	11 140		1			5
6	Deska 40x10	OSN 40 1110	11 140		1			6
7	Deska 40x10	OSN 40 1110	11 140		1			7
8	Deska 40x10	OSN 40 1110	11 140		1			8
9	Deska 40x10	OSN 40 1110	11 140		1			9
10	Deska 40x10	OSN 40 1110	11 140		1			10
11	Deska 40x10	OSN 40 1110	11 140		1			11
12	Deska 40x10	OSN 40 1110	11 140		1			12
13	Deska 40x10	OSN 40 1110	11 140		1			13
14	Deska 40x10	OSN 40 1110	11 140		1			14
15	Deska 40x10	OSN 40 1110	11 140		1			15
16	Deska 40x10	OSN 40 1110	11 140		1			16
17	Deska 40x10	OSN 40 1110	11 140		1			17
18	Deska 40x10	OSN 40 1110	11 140		1			18
19	Deska 40x10	OSN 40 1110	11 140		1			19
20	Deska 40x10	OSN 40 1110	11 140		1			20

